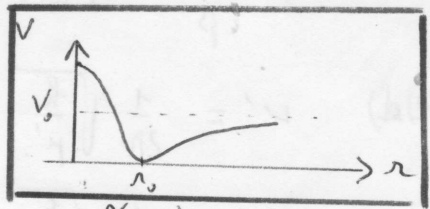


$$1/a) V(r) \xrightarrow[r \rightarrow \infty]{} V_0$$

$$V(0) = V_0 (1 - e^{+\beta r_0})^2 = V_0 e^{+2\beta r_0} \gg V_0$$

$$\frac{dV}{dr} = 2\beta (1 - e^{-\beta(r-r_0)}) e^{-\beta(r-r_0)} = 0 \Leftrightarrow 1 = e^{-\beta(r-r_0)} \Leftrightarrow r = r_0$$



$r_0$  correspond à l'énergie potentielle la + basse, donc à la position d'équilibre  
 $V_0$ : énergie potentielle quand distance  $\infty$ , soit énergie potentielle de dissociation

$$\beta \sim \frac{1}{[C]}$$

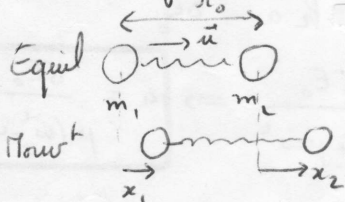
$$1/b) \text{ si } r \rightarrow r_0 \text{ alors } e^{-\beta(r-r_0)} \approx 1 - \beta(r-r_0) \text{ et } V(r) \approx V_0 \beta^2 (r-r_0)^2$$

$$\text{modélisation par un ressort } (E_p = \frac{1}{2} k (r-r_0)^2)$$

$$k = 2V_0 \beta^2$$

(mais pour  $r-r_0 \ll \frac{1}{\beta}$ )

2) a) Rel<sup>+</sup> fond. syst. m<sub>1</sub> dans R<sub>labo</sub> = galiléen :



$$\begin{cases} m_1 \ddot{x}_1 = +k(x_2 - x_1) & (a) \\ m_2 \ddot{x}_2 = -k(x_2 - x_1) & (b) \end{cases}$$

$$b) \text{ Multiplier (a) par } m_2 \quad \left. \begin{array}{l} (b) \text{ par } m_1 \\ \text{Retrancher (b)-(a)} \end{array} \right\} \Rightarrow m_1 m_2 \ddot{x}_2 - m_1 m_2 \ddot{x}_1 = -(m_1 k(x_2 - x_1) + m_2 k(x_2 - x_1))$$

$$= -k(x_2 - x_1) \ddot{x} \quad \begin{array}{l} \uparrow \quad \nwarrow \\ \text{dist}^2 \text{ co - dist}^2 \text{ co à l'équilibre} \\ \hline \text{allongement du ressort, soit } x_2 - x_1 \end{array}$$

$$(x_2 - x_1)'' + \frac{k(m_1 + m_2)}{m_1 m_2} (x_2 - x_1) = 0 \quad s = x_2 - x_1 = A \cos \omega_0 t + B \sin \omega_0 t$$

$$\omega_0 = \sqrt{\frac{k}{\mu}}$$

$$\nu_0 = \frac{1}{T_0} = \frac{\omega_0}{2\pi} = \frac{(2\pi)}{2\pi} \sqrt{\frac{k}{\mu}}$$

$$d) \quad \begin{aligned} k &= 4\pi^2 \nu_0^2 \mu & \nu_0 \text{ connue} \\ k &= 2V_0 \beta^2 & V_0 \text{ connue} \\ && \mu \text{ connue} \end{aligned} \quad \Rightarrow \quad \begin{aligned} \frac{k}{\mu} &= 4\pi^2 \nu_0^2 = \frac{6,425,12 \times 10^{-3} \cdot 4\pi^2}{2,8 \times 6,02 \cdot 10^{-3}} = \frac{1856 \text{ N.m}^{-1}}{\text{kg.s}^{-2}} \\ \beta &= \sqrt{\frac{k}{2V_0}} = \sqrt{\frac{1856}{2 \times 1,77 \times 10^{-8}}} = 2,3 \cdot 10^{10} \text{ m}^{-1} \end{aligned}$$

$$\text{sq: } \frac{1}{\beta} = 0,44 \cdot 10^{-10} \text{ m} \quad (\text{plus grand que } (1 - \lambda_0) \Leftrightarrow (1 - \lambda_0) < 10^{-12} \text{ m})$$

2) a)

$$v' = \frac{1}{2\pi} \sqrt{\frac{\hbar}{\mu'}} \quad v = \frac{1}{2\pi} \sqrt{\frac{\hbar}{\mu}} \quad \left\{ \Rightarrow v' = v \sqrt{\frac{\mu}{\mu'}} = v \sqrt{\frac{m_1 \cdot (m_2 + m_1)}{m'_1 \cdot (m_2 + m_1)}} \right.$$

$$v' = 6,425 \cdot 10^{13} \sqrt{\frac{12}{13} \frac{(16+13)}{(16+12)}} = 6,28 \cdot 10^{13} \text{ Hz}$$

(L'interaction électrostat. n'est pas modifiée par le nbr de neutrons, donc  $\hbar$  est identique pour  $^{12}\text{CO}$  et  $^{13}\text{CO}$ )

$$v' - v = -0,143 \cdot 10^{13} \text{ Hz} = -14,3 \cdot 10^{11} \text{ Hz}$$

[on peut séparer  $v$  et  $v'$  en spectroscopie infrarouge]

3) a) Infrarouge  $\Rightarrow \lambda > 0,7 \cdot 10^{-6} \text{ m}$  grande devant les dimensions de CO  
donc  $\vec{E}_0$  est vu comme uniforme par CO à t donné.  $\sim 10^{-9} \text{ m}$

b)

$$\begin{cases} m_1 \ddot{x}_1 = +k(x_2 - x_1) + \delta E_0 e^{i\omega t} \\ m_2 \ddot{x}_2 = -k(x_2 - x_1) - \delta E_0 e^{i\omega t} \end{cases}$$

$x(-m_2)$   
 $x(m_1)$

soustraire  $\Rightarrow m_1 m_2 (x_2 - x_1) = k(m_1 + m_2)(x_2 - x_1) - \delta E_0 e^{i\omega t} / (m_1 + m_2)$

c)

$$\mu \ddot{x} = -kx - \delta E_0 e^{i\omega t}$$

rig à permanent  $\stackrel{v}{\Delta} = a e^{i\omega t}$

$$\left\{ \begin{array}{l} \Rightarrow -a\omega^2 \mu = k a - \delta E_0 \\ \Rightarrow a = \frac{\delta E_0}{-k + \mu \omega^2} \Rightarrow a = \frac{\delta E_0}{\mu(\omega^2 - \omega_0^2)} \end{array} \right.$$

d)

$$\begin{aligned} \ddot{f}_0 &= \delta r_0 (-\ddot{u}_2) \quad \xrightarrow{\text{+C}} \ddot{u}_2 \\ \ddot{f}_0 + \ddot{f} e^{i\omega t} &= \delta(r_0 + (x_2 - x_1))(-\ddot{u}_2) \\ \ddot{f} e^{i\omega t} &= -\delta(x_2 - x_1) \ddot{u}_2 \\ &= -\delta a e^{i\omega t} \ddot{u}_2 \end{aligned} \quad \Rightarrow \quad \begin{aligned} \ddot{f} &= -\delta a \ddot{u}_2 = -\frac{\delta^2 E_0 \ddot{u}_2}{\mu(\omega^2 - \omega_0^2)} \\ \Rightarrow \alpha &= \frac{\delta^2}{\epsilon_0 \mu (\omega_0^2 - \omega^2)} \end{aligned}$$

$\therefore \omega \rightarrow \infty$  (résonance):  
 $w \rightarrow w_0$

tenir compte du rayonnement de freinage des charges  $\rightarrow (\alpha \neq \infty)$

2<sup>ème</sup> partie

$$\begin{cases} m_1 \ddot{x}_1 = k(x_2 - x_1) - k'x, \quad (\text{en l'absence de } \vec{E}_0) \\ m_2 \ddot{x}_2 = -k(x_2 - x_1) \end{cases}$$

$$\begin{aligned} x_1 &\stackrel{v}{=} a_1 e^{i\omega t} \\ x_2 &\stackrel{v}{=} a_2 e^{i\omega t} \end{aligned} \quad \begin{cases} -m_1 \omega^2 a_1 = k(a_2 - a_1) - k'a_1, \quad \text{coeff réels} \Rightarrow \frac{a_1}{a_2} \in \mathbb{R} \\ -m_2 \omega^2 a_2 = -k(a_2 - a_1) \end{cases}$$

$a_1$  et  $a_2$  en phase ou en opposition

## Résumé vibrations de molécule

- 1) Une molécule à 2 atomes vibre comme un oscillateur.  
La modélisation peut être assimilée à un ressort quand les vibrations sont de faible amplitude.  
La fréquence propre de ces oscillations est de l'ordre de  $10^{13}$  Hz pour CO.  
(Rappel:  $\nu_{\text{visible}} = \frac{c}{\lambda} \approx \frac{3 \cdot 10^8}{0,6 \cdot 10^{-6}} \approx 0,5 \cdot 10^{15}$  Hz pour comparer)
- Pour 2 isotopes de CO la différence des fréquences propres  $\approx 10^{12}$  Hz  
la spectroscopie infrarouge permet la séparation de ces fréquences.
- 2) Pour les molécules polaires (comme CO), l'action d'un champ  $\vec{E}$  sinusoïdal conduit à des vibrations forcées dont l'amplitude dépend de la pulsation  $w$  de  $\vec{E}$ . Il y a résonance si  $w \rightarrow w_0$  où  $w_0$  est la pulsation propre de la molécule.

1.a) La répartition de courants est invariante selon  $\theta$  et  $z$ , donc  $\vec{B}$  ne dépend que de  $r$   
Plan de symétrie :  $(\Pi, \vec{e}_\phi, \vec{e}_z)$  donc

$$\vec{B}(r) \parallel \vec{e}_\phi$$

$$\rightarrow \boxed{\vec{B}(r) = B(r) \vec{e}_\phi}$$

1.b) Th d'Amper avec un contour-arc de l'axe Oz passant par  $\Pi$ .

$$\oint \vec{B} \cdot d\vec{l} = \mu_0 \sum i$$

Orientons le contour selon  $\vec{e}_\phi$ :  $\oint \vec{B} \cdot d\vec{l} = B 2\pi r$

si $r < a$	$\sum i = 0$	$B = 0$
si $r > b$	$\sum i = I - I$	$B = 0$

$$\sum i = I - I$$

$$\begin{matrix} \text{PI} \\ \text{dl} \end{matrix}$$

1.c) si  $r \in [a, b]$   $\sum i = I$  (signe  $\rightarrow$ )

$$\text{d'où } B = \frac{\mu_0 I}{2\pi r} \text{ si } r \in [a, b]$$

2.a)  $\boxed{\Phi_{(B/S)}} = \int_a^b B(r) l dr = \frac{\mu_0 I l \ln \frac{b}{a}}{2\pi}$

$$(\text{rappel } \Phi = \iint B \vec{e}_\phi \cdot dS \vec{e}_\phi)$$

2.b)  $\Phi = LI$  par définition

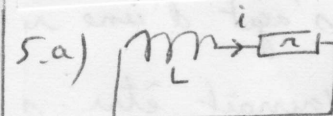
$$\text{d'où } L = \frac{\mu_0 l \ln \frac{b}{a}}{2\pi}$$

2.c) AN:  $L = \frac{4\pi \cdot 10^{-7}}{2\pi} \cdot 1 \ln \frac{3}{1} = 2 \cdot 10^{-7} \cdot 1,1$

$$L = 0,22 \mu H$$

2.d)  $L = \frac{4\pi \cdot 10^{-7} \cdot 66 \cdot 10^{-3} \ln \frac{40}{1}}{2\pi} = 2,66 \cdot 37 \cdot 10^{-10}$

$$L = 4,9 \cdot 10^{-8} H = 4,9 \cdot 10^{-2} \mu H$$

5.a) 

$$\boxed{L \frac{di}{dt} + ri = 0}$$

5.b)  $\rightarrow i = I_0 e^{-\frac{rt}{L}}$

(courant dans bobine continue)

5.c) 

$$\boxed{t = \frac{L}{r}} \quad \text{temp caract.}$$

on obtient  $t$  par l'intersection de la tangente  
en effet  $\left(\frac{di}{dt}\right)_0 = -\frac{rI_0}{L} \rightarrow$  droite tangente  $i = -\frac{r}{L}t + I_0$

cette droite coupe l'axe des temp pour  $t = \frac{L}{r}$

5.d)  $i \rightarrow 0 \Rightarrow t \rightarrow \infty$  alors  $I = I_0$  reste constante.

5.e)  $\Phi = LI = LI_0$  se conserve donc.

5.f)  $e_i = -\frac{\partial \Phi}{\partial t} = 0$  pas de force électromotrice induite.

6.)

Pour hypothèse (énoncé)  $\Phi = \text{cte}$

On  $\Phi = LI$

Si on souhaite  $I \uparrow$  alors que  $\Phi = \text{cte}$  alors  
il faut que  $L \downarrow$ ; pour cela, presque  
 $L = \frac{\mu_0 l \ln \frac{b}{a}}{2\pi}$  il faut diminuer  $b$ , augmenter  $a$   
càd rapprocher les 2 cylindres.